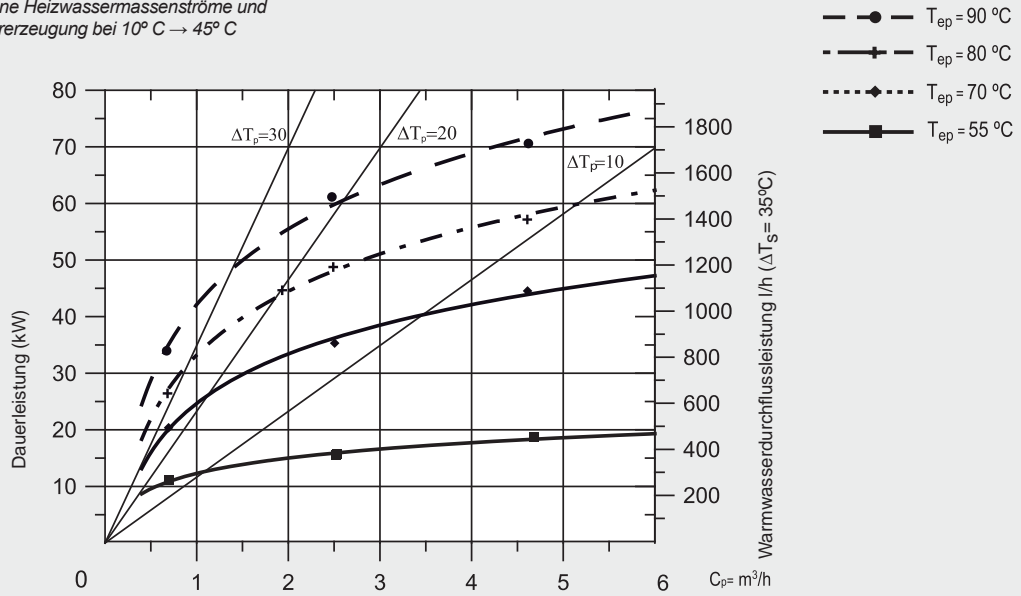
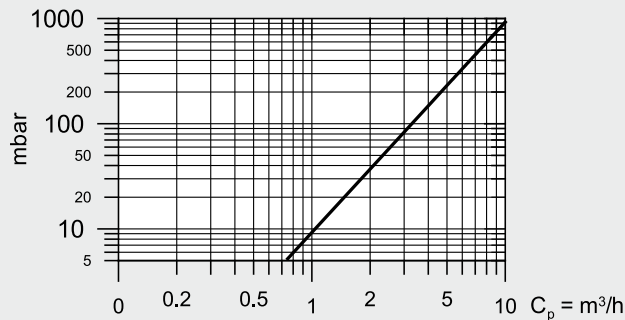


## G-260-IS

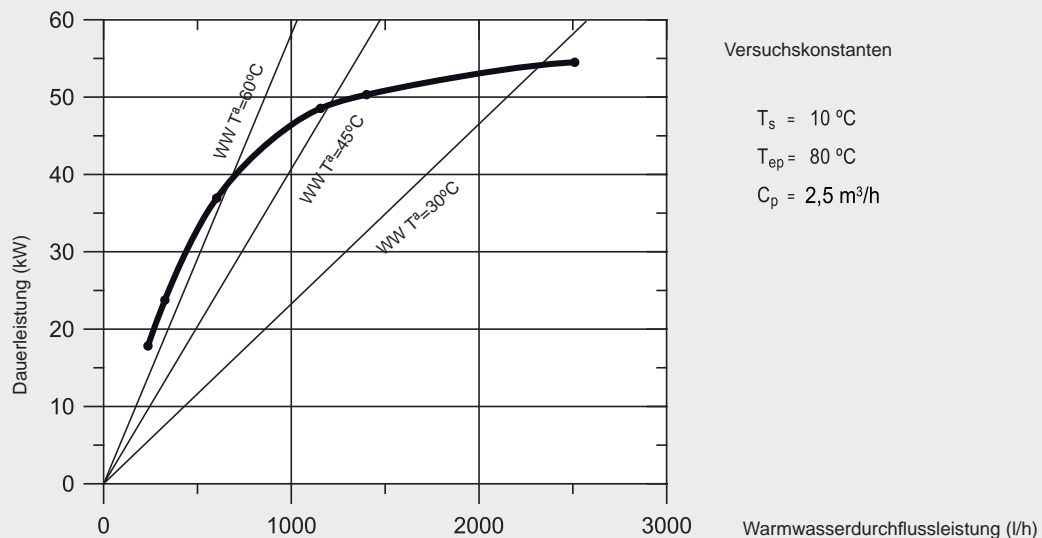
Leistungskurven für verschiedene Heizwassermassenströme und -temperaturen zur Warmwassererzeugung bei  $10^\circ\text{C} \rightarrow 45^\circ\text{C}$



Druckverluste zwischen Heizwasservor- und -rücklauf bei verschiedenen Heizwassermassenströmen

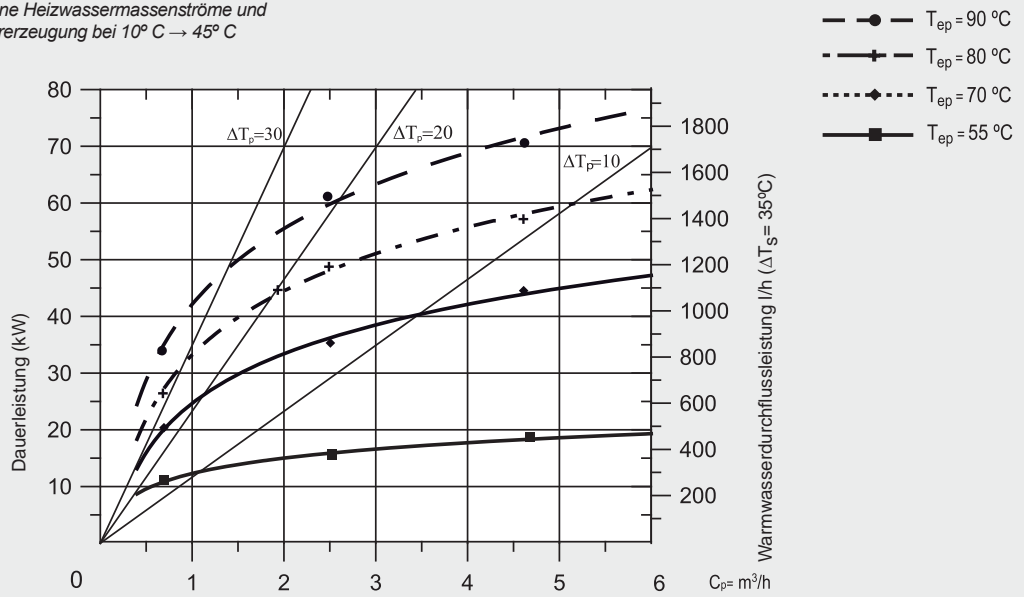


Warmwasserdauerleistungskurve für unterschiedliche Temperaturen bei auf  $\Delta T_p = 20^\circ\text{C}$  und  $\Delta T_s = 30^\circ\text{C}$  festgelegtem Heizwassermassenstrom

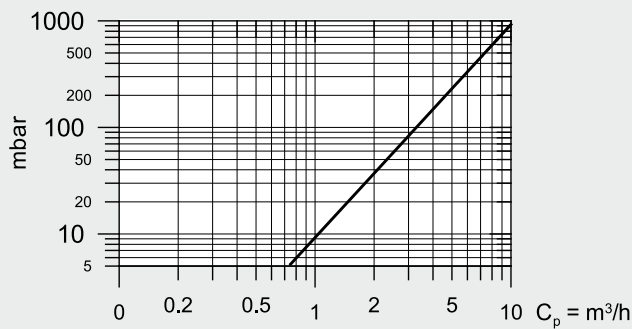


## G-370-IS

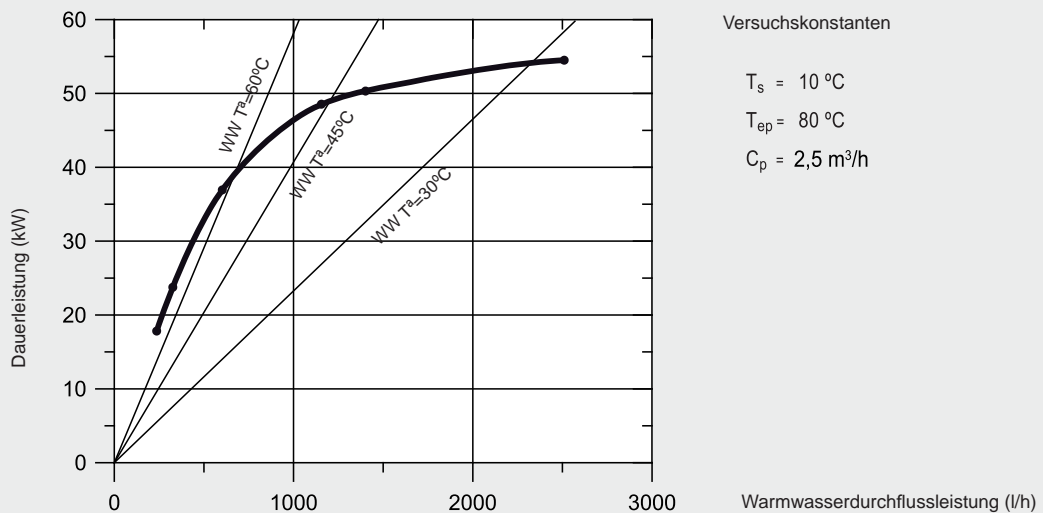
Leistungskurven für verschiedene Heizwassermassenströme und -temperaturen zur Warmwassererzeugung bei  $10^\circ\text{C} \rightarrow 45^\circ\text{C}$



Druckverluste zwischen Heizwasservor- und -rücklauf bei verschiedenen Heizwassermassenströmen

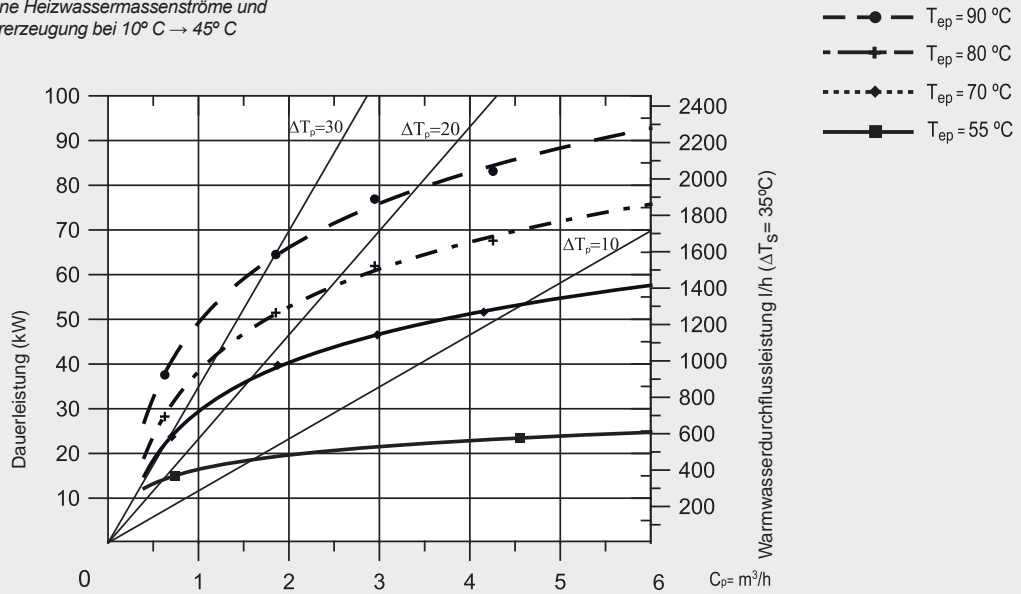


Warmwasserdauerleistungskurve für unterschiedliche Temperaturen bei auf  $\Delta T_p = 20^\circ\text{C}$  und  $\Delta T_s = 30^\circ\text{C}$  festgelegtem Heizwassermassenstrom

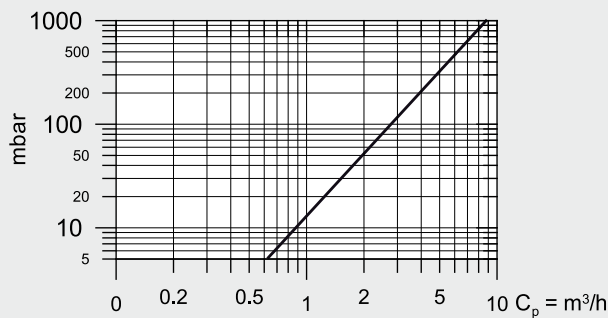


## G-600-IS

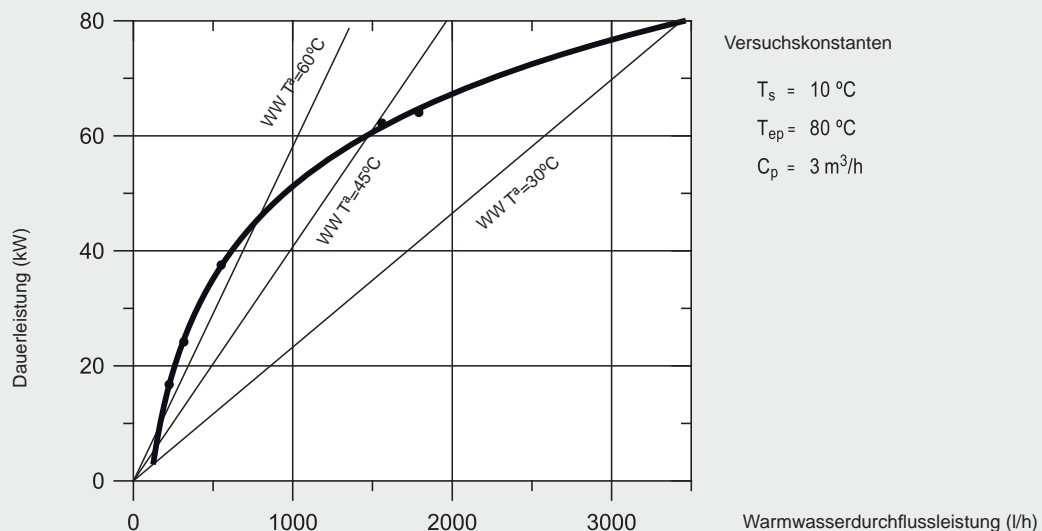
Leistungskurven für verschiedene Heizwassermassenströme und -temperaturen zur Warmwassererzeugung bei  $10^\circ\text{C} \rightarrow 45^\circ\text{C}$



Druckverluste zwischen Heizwasservor- und -rücklauf bei verschiedenen Heizwassermassenströmen

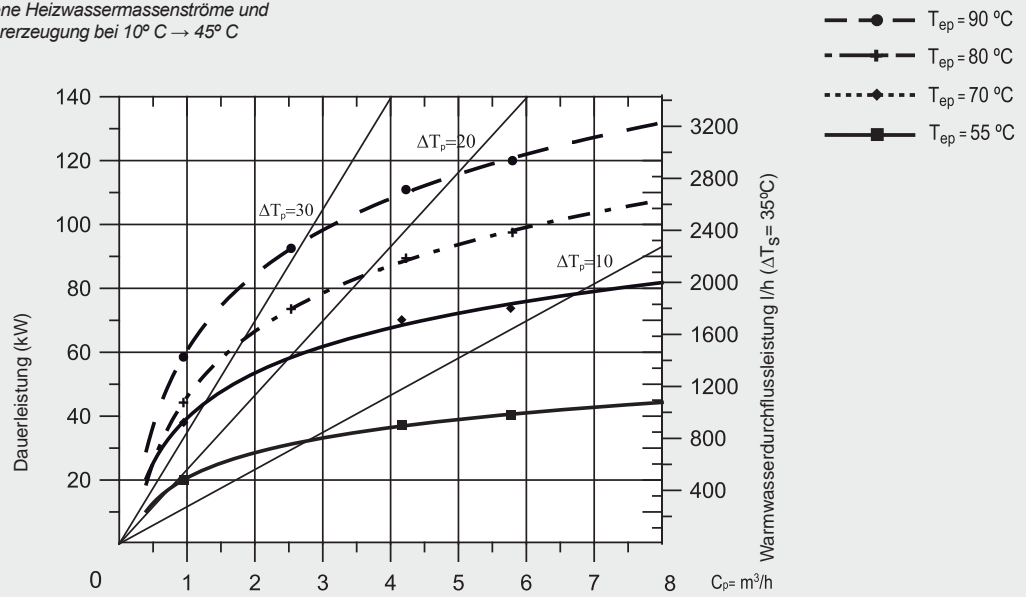


Warmwasserdauerleistungskurve für unterschiedliche Temperaturen bei auf  $\Delta T_p = 20^\circ\text{C}$  und  $\Delta T_s = 30^\circ\text{C}$  festgelegtem Heizwassermassenstrom

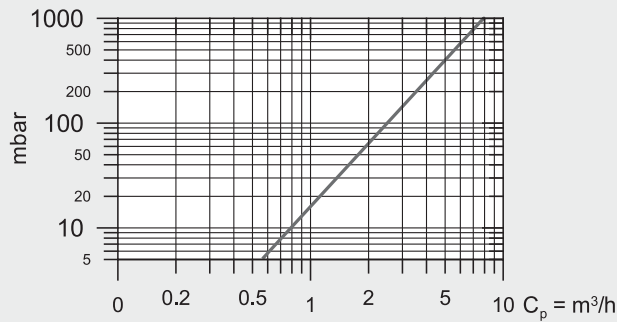


## G-800-IS

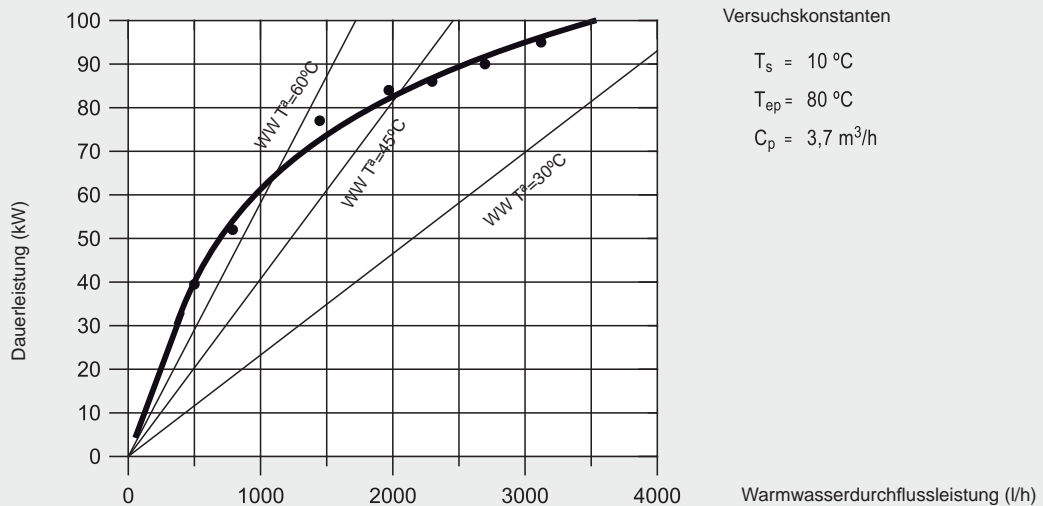
Leistungskurven für verschiedene Heizwassermassenströme und -temperaturen zur Warmwassererzeugung bei  $10^\circ\text{C} \rightarrow 45^\circ\text{C}$



Druckverluste zwischen Heizwasservor- und -rücklauf bei verschiedenen Heizwassermassenströmen

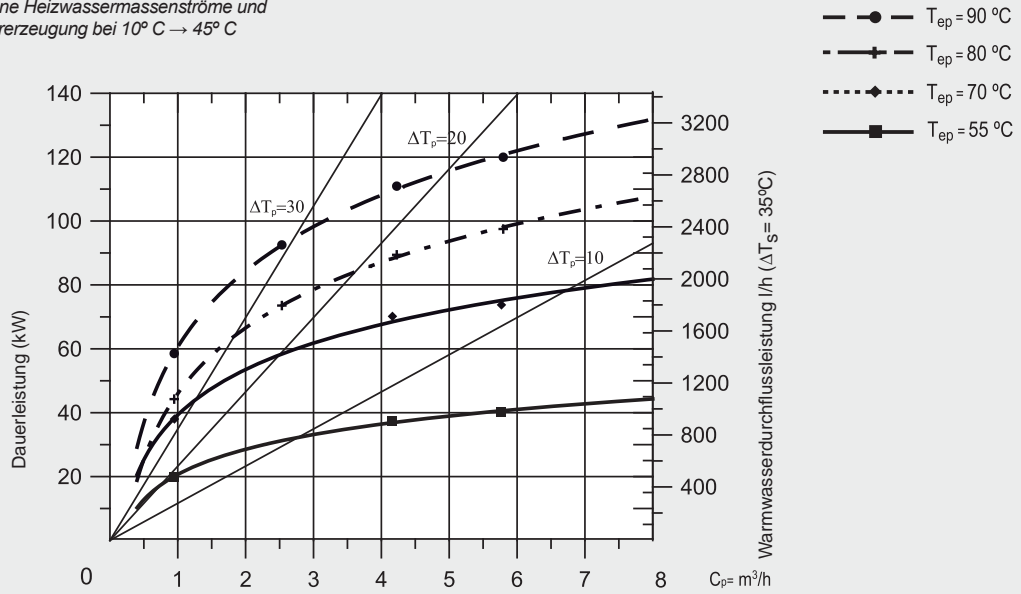


Warmwasserdauerleistungskurve für unterschiedliche Temperaturen bei auf  $\Delta T_p = 20^\circ\text{C}$  und  $\Delta T_s = 30^\circ\text{C}$  festgelegtem Heizwassermassenstrom

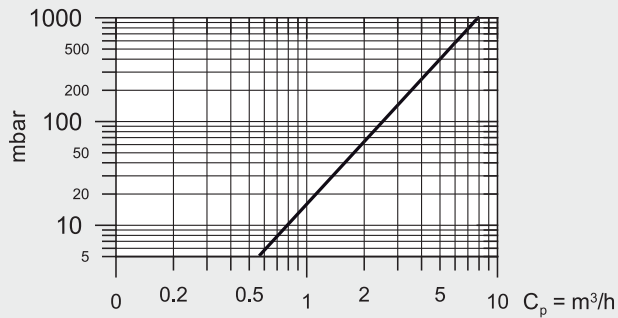


## G-1000-IS

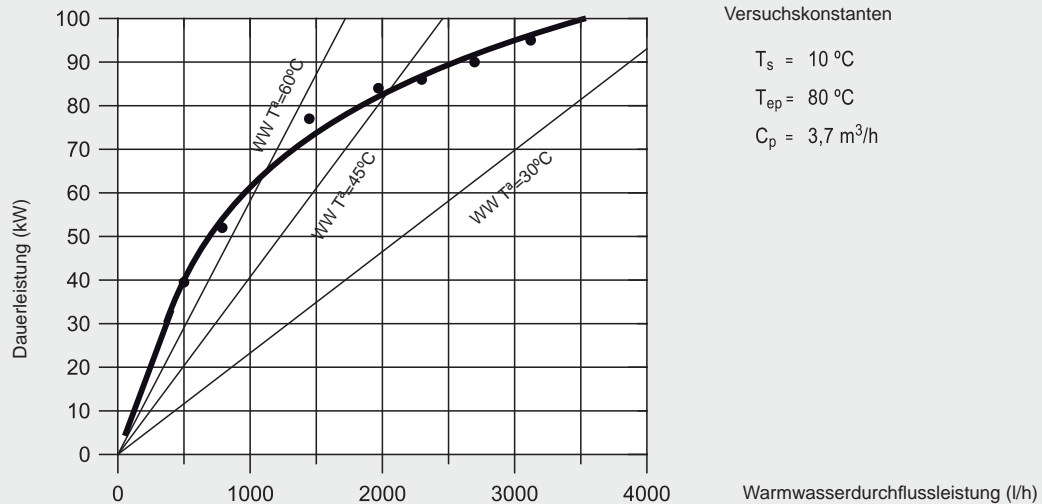
Leistungskurven für verschiedene Heizwassermassenströme und -temperaturen zur Warmwassererzeugung bei  $10^\circ\text{C} \rightarrow 45^\circ\text{C}$



Druckverluste zwischen Heizwasservor- und -rücklauf bei verschiedenen Heizwassermassenströmen

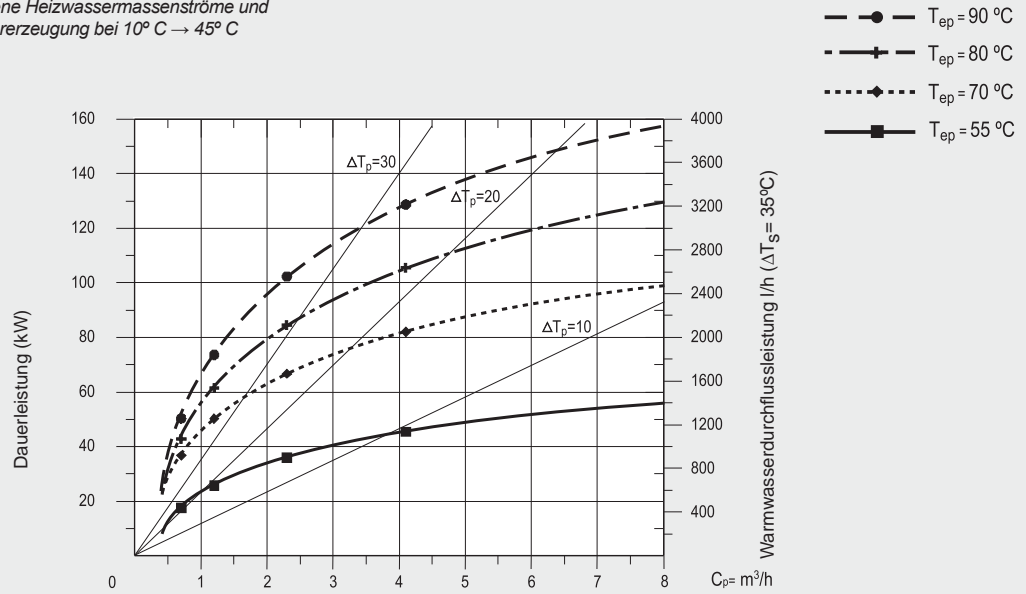


Warmwasserdauerleistungskurve für unterschiedliche Temperaturen bei auf  $\Delta T_p = 20^\circ\text{C}$  und  $\Delta T_s = 30^\circ\text{C}$  festgelegtem Heizwassermassenstrom

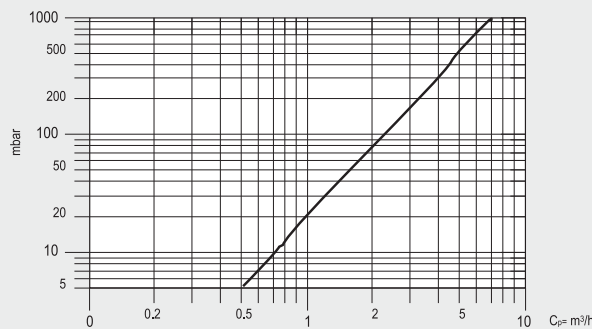


## G-1500-IS

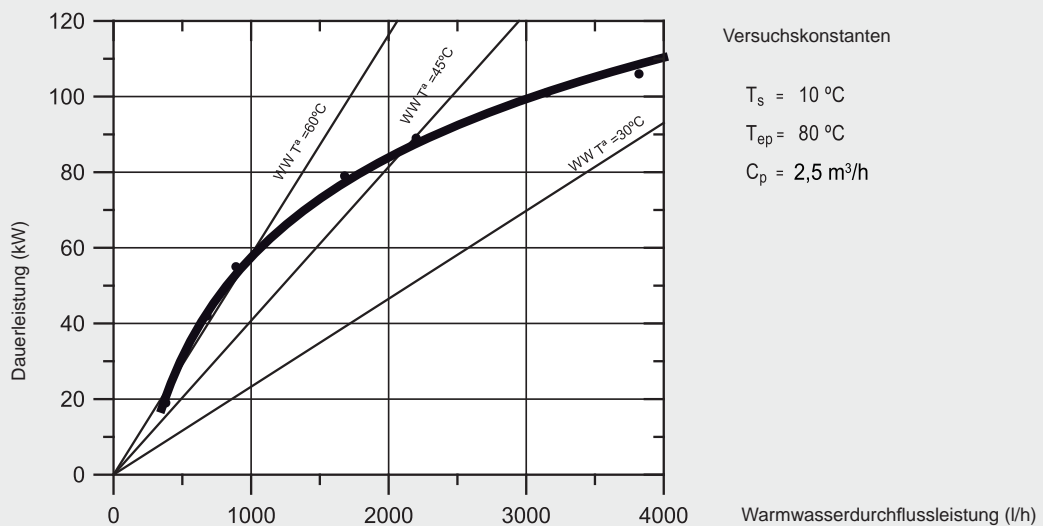
Leistungskurven für verschiedene Heizwassermassenströme und -temperaturen zur Warmwassererzeugung bei  $10^\circ\text{C} \rightarrow 45^\circ\text{C}$



Druckverluste zwischen Heizwasservor- und -rücklauf bei verschiedenen Heizwassermassenströmen

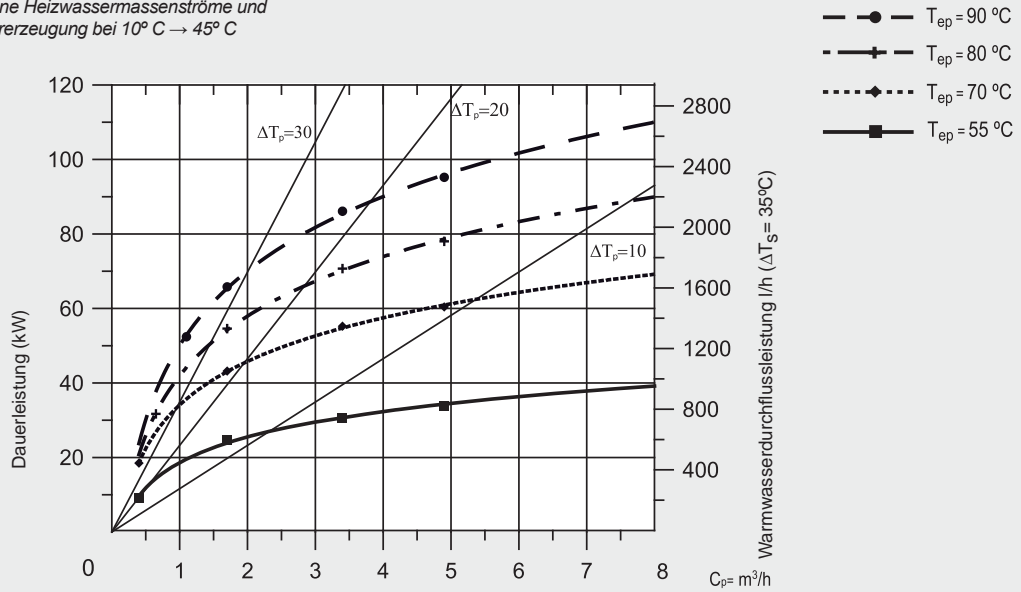


Warmwasserdauerleistungskurve für unterschiedliche Temperaturen bei auf  $\Delta T_p = 20^\circ\text{C}$  und  $\Delta T_s = 30^\circ\text{C}$  festgelegtem Heizwassermassenstrom

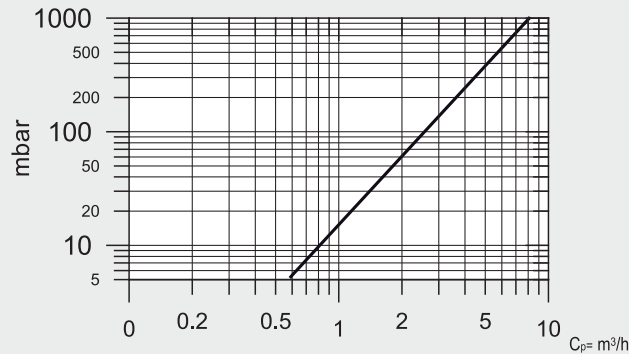


## G-800-LW

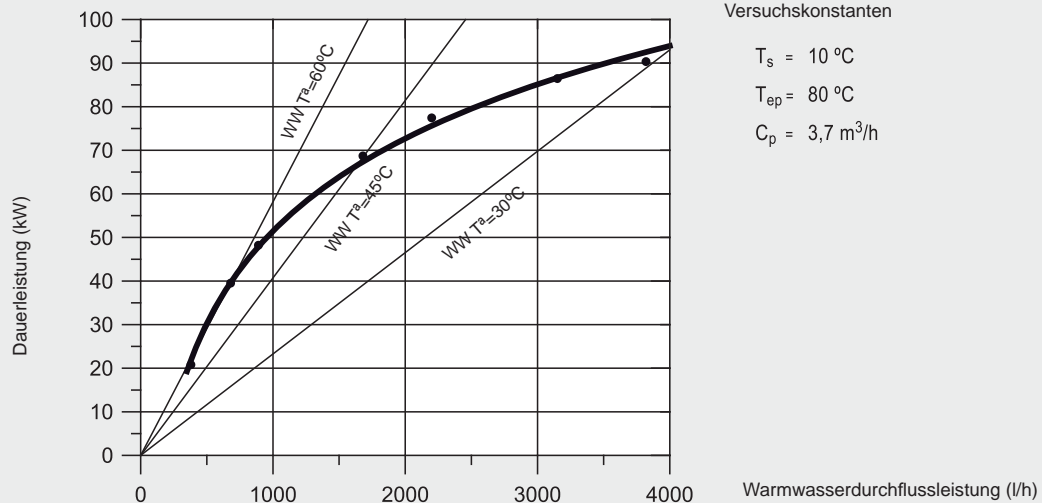
Leistungskurven für verschiedene Heizwassermassenströme und -temperaturen zur Warmwassererzeugung bei  $10^\circ\text{C} \rightarrow 45^\circ\text{C}$



Druckverluste zwischen Heizwasservor- und -rücklauf bei verschiedenen Heizwassermassenströmen

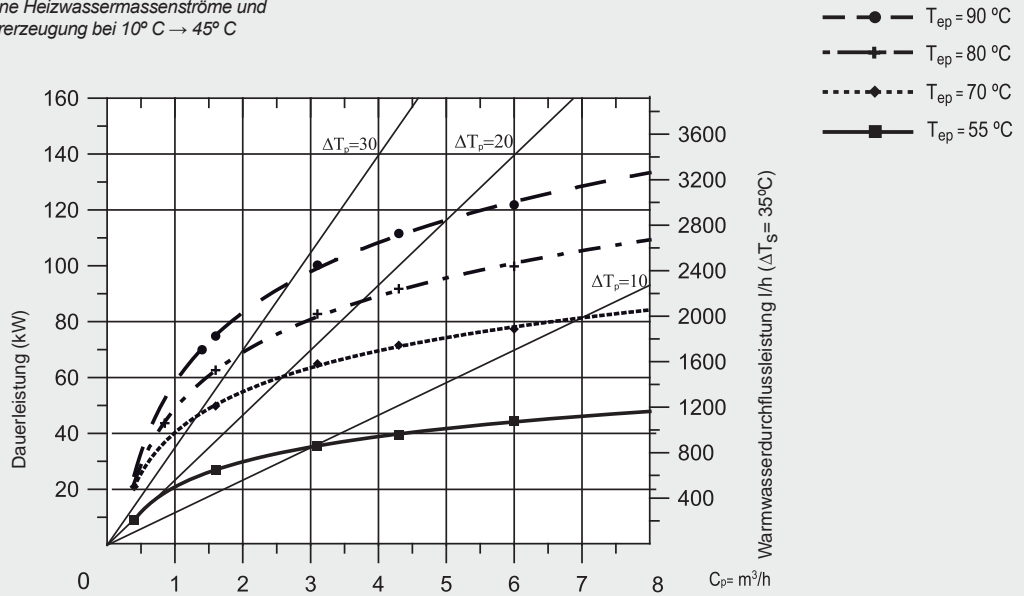


Warmwasserdauerleistungskurve für unterschiedliche Temperaturen bei auf  $\Delta T_p = 20^\circ\text{C}$  und  $\Delta T_s = 30^\circ\text{C}$  festgelegtem Heizwassermassenstrom

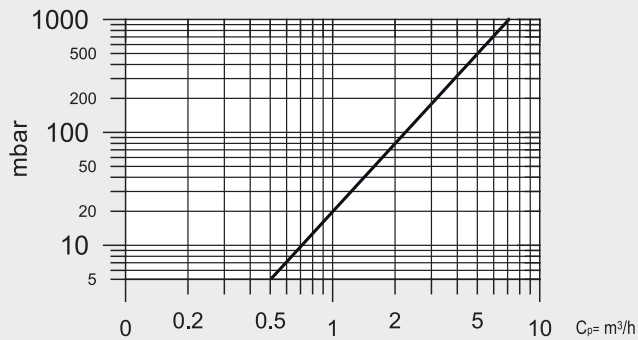


## G-1000-LW

Leistungskurven für verschiedene Heizwassermassenströme und -temperaturen zur Warmwassererzeugung bei  $10^\circ\text{C} \rightarrow 45^\circ\text{C}$



Druckverluste zwischen Heizwasservor- und -rücklauf bei verschiedenen Heizwassermassenströmen



Warmwasserdauerleistungskurve für unterschiedliche Temperaturen bei auf  $\Delta T_p = 20^\circ\text{C}$  und  $\Delta T_s = 30^\circ\text{C}$  festgelegtem Heizwassermassenstrom

